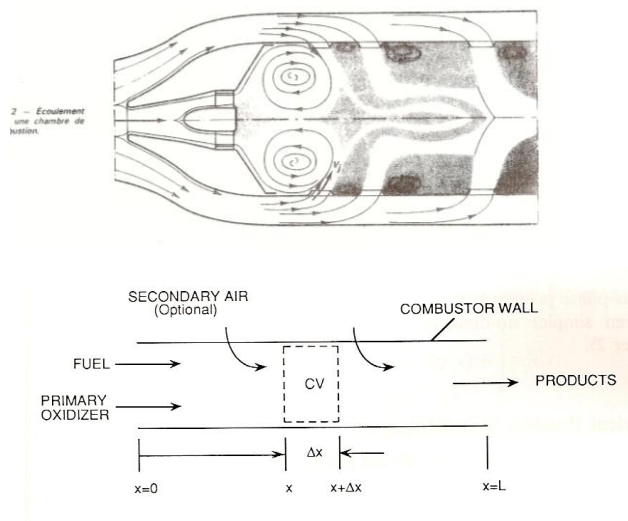


Chapitre IV

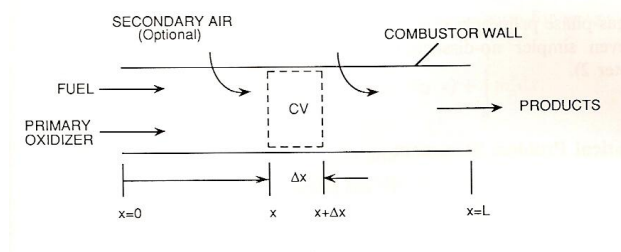
Approche Dimensionnelle sur Combustion Contrôlée par l'Évaporation des Gouttes

1

I) Approche monodimensionnelle stationnaire



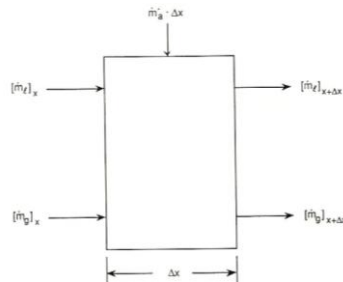
2



PHASE GAZEUSE	$T_g(x)$	température du gaz
	$\dot{m}_g(x)$	débit massique
	$\phi_g(x)$	richesse
	$v_g(x)$	vitesse du gaz
PHASE LIQUIDE	$D(x)$	diamètre de la gouttelette
	$\dot{m}_l(x)$	vitesse d'évaporation du combustible
	$v_l(x)$	vitesse de la gouttelette

3

1) Conservation de la masse totale



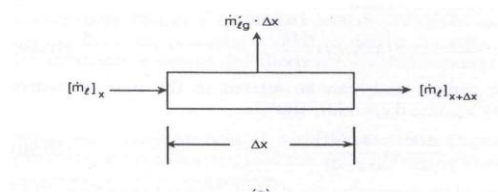
$$[\dot{m}]_g + [\dot{m}]_l + \dot{m}_a \Delta x = [\dot{m}]_{g,x+\Delta x} + [\dot{m}]_{l,x+\Delta x} \Rightarrow \frac{[\dot{m}]_{g,x+\Delta x} - [\dot{m}]_{g,x}}{\Delta x} + \frac{[\dot{m}]_{l,x+\Delta x} - [\dot{m}]_{l,x}}{\Delta x} = \dot{m}_a$$

$$\frac{d\dot{m}_g}{dx} + \frac{d\dot{m}_l}{dx} = \dot{m}_a \qquad \int_0^x \frac{d\dot{m}_g}{dx} + \int_0^x \frac{d\dot{m}_l}{dx} = \int_0^x \dot{m}_a dx$$

$$\dot{m}(x) = \dot{m}_g(0) + \dot{m}_l(0) - \dot{m}(x) + \int_0^x \dot{m}_a dx$$

4

2) Conservation de la masse du liquide



$$[\dot{m}]_{x+\Delta x} - [\dot{m}]_x = -\dot{m}_g \Delta x$$

$$\frac{d\dot{m}}{dx} = -\dot{m}_g$$

$$\dot{m} = \dot{N} m_d = \dot{N} \rho_l \pi D^3 / 6$$

$$\frac{d\dot{m}}{dx} = \frac{\pi}{4} \dot{N} \rho_l D \frac{dD^2}{dx}$$

5

(Loi en D^2)

$$\frac{dD^2}{dx} = \frac{1}{V_d} \frac{dD^2}{dt}$$

$$\frac{dD^2}{dt} = -K$$

$$K = \frac{8k_g}{\rho_l C_{pg}} \ln(B_c + 1)$$

$$\frac{dD^2}{dx} = -\frac{K}{V_d} \Rightarrow D(x)$$

$$\dot{m}_l(0) = \dot{N} \rho_l \pi D_0^3 / 6 \Rightarrow \dot{N} (\text{nombre de gouttes / s}) = 6\dot{m}_l(0) / (\rho_l \pi D_0^3)$$

$$\dot{m}_l(x) \Rightarrow \dot{m}_g(x)$$

Vitesse du gaz

$$V_g = \frac{\dot{m}_g}{\rho_g A}$$

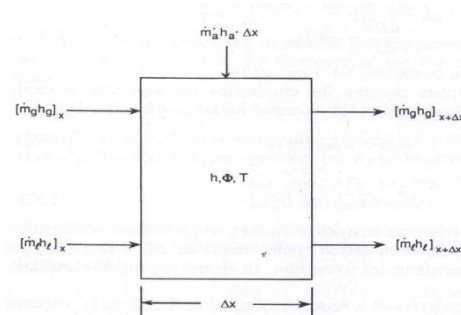
 \Rightarrow

$$V_g = \frac{\dot{m}_g R_u T_g}{(MW_g PA)}$$

$$\rho_g = \frac{P}{(R_u / MW_g) T_g}$$

6

3) Conservation de l'énergie en phase gazeuse



$$\frac{d(\dot{m}h_g)}{dx} + \frac{d(\dot{m}h_e)}{dx} = \dot{m}_e h_e \Rightarrow \frac{dh_g}{dx} = \frac{\left[\dot{m}_e h_e - h_e \frac{d\dot{m}_e}{dx} - h_e \frac{d\dot{m}}{dx} \right]}{\dot{m}_e}$$

7

$$h_e = f(T, P, \phi)$$

$$\frac{dh_e}{dx} = \frac{\partial h_e}{\partial T} \frac{dT}{dx} + \frac{\partial h_e}{\partial \phi} \frac{d\phi}{dx}$$

Code UVFLAME

$$\begin{cases} \frac{\partial h_e}{\partial T} \\ \frac{\partial h_e}{\partial \phi} \\ P = \text{cst} \end{cases}$$

$$\frac{dT}{dx} = \frac{\left[\left(\dot{m}_e h_e - h_e \frac{d\dot{m}_e}{dx} - h_e \frac{d\dot{m}}{dx} \right) / \dot{m}_e - \frac{\partial h_e}{\partial \phi} \frac{d\phi}{dx} \right]}{\frac{\partial h_e}{\partial T}}$$

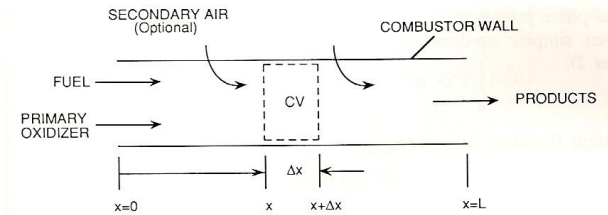
$$\text{substitution} \quad \frac{d\dot{m}}{dx} = \dot{m}_e - \frac{d\dot{m}}{dx}$$

$$\frac{dT}{dx} = \frac{\left[\left((h_e - h_g) \dot{m}_e + (h_g - h_e) \frac{d\dot{m}}{dx} \right) / \dot{m}_e - \frac{\partial h_e}{\partial \phi} \frac{d\phi}{dx} \right]}{\frac{\partial h_e}{\partial T}}$$

$$\text{connu} \quad \frac{d\dot{m}}{dx} = -\dot{m}_e$$

8

4) Composition de la phase gazeuse $\Rightarrow \frac{d\phi(x)}{dx}$



$$\dot{m}_e(x) = \dot{m}_e(0) + \dot{m}(0) - \dot{m}(x) + \int_0^x \dot{m}_a dx$$

$$\dot{m}_e(0) = \dot{m}_f(0) + \dot{m}_o(0)$$

$$\left(\frac{F}{O}\right)_x = \frac{\dot{m}_{f,x}}{\dot{m}_{o,x}} = \frac{\dot{m}_e(x) - (\dot{m}_{a,0} + \int_0^x \dot{m}_a dx)}{\dot{m}_{a,0} + \int_0^x \dot{m}_a dx}$$

9

$$\left(\frac{F}{O}\right)_x = \dot{m} \left[\dot{m}_{a,0} + \int_0^x \dot{m}_a' dx \right]^{-1} - 1$$

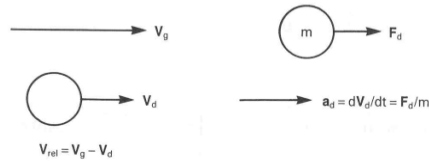
$$\frac{d\left(\frac{F}{O}\right)_x}{dx} = \frac{d\dot{m}}{dx} \left[\dot{m}_{a,0} + \int_0^x \dot{m}_a' dx \right]^{-1} - \dot{m} \dot{m}_a' \left[\dot{m}_{a,0} + \int_0^x \dot{m}_a' dx \right]^{-2}$$

$$\phi = \frac{\left(\frac{F}{O}\right)_x}{\left(\frac{F}{O}\right)_{\phi=1}}$$

$$\frac{d\phi(x)}{dx} = \frac{1}{\left(\frac{F}{O}\right)_{\phi=1}} \frac{d\left(\frac{F}{O}\right)_x}{dx}$$

10

5) Conservation de la quantité de mouvement de la gouttelette



Loi de Newton à la gouttelette : $F_d = m_d \frac{dV_d}{dt} = m_d V_d \frac{dV_d}{dx}$

$$F_d = \frac{1}{2} C_D \rho_g V_{rel}^2 \left(\frac{1}{4} \pi D^2 \right) \quad m_d = \rho_l \frac{1}{6} \pi D^3$$

$$C_D = f(Re_{D,rel}) \approx \frac{24}{Re_{D,rel}} + \frac{6}{1 + \sqrt{Re_{D,rel}}} + 0.4 \quad (0 \leq Re_{D,rel} \leq 2 \times 10^5)$$

$$\frac{dV_d}{dx} = \frac{3C_D \rho_g V_{rel}^2}{4\rho_l D V_d} \Rightarrow \frac{dV_d}{dx} = \frac{3C_D \rho_g}{4\rho_l D V_d} (V_g - V_d) |V_g - V_d|$$

11

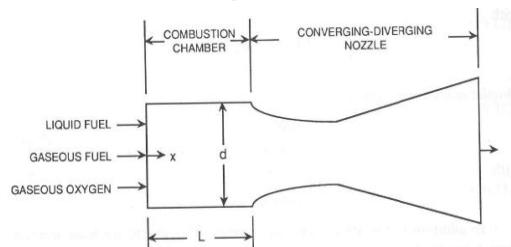
ApplicationSection droite de la chambre de combustion : 0.157 m²

Longueur de la chambre de combustion : 0.725 m

Surface d'injection du combustible : 0.0157 m²Combustible : n-heptane (C₇H₁₆)Richesse globale : $\phi(F/A) = 2.3$ Richesse du pré-mélange initial : $\phi(0) = 0.45$

Température initiale: T(0)=801 K

Pression dans la chambre de combustion : P=3.5 MPa

Vitesse de goutte initiale : V_d(0)=10 m/s

12

Phase liquide (diamètre de la gouttelette)

$$\frac{dD^2}{dx} = -\frac{K}{V_d} \quad D(0) = D_0$$

Phase gazeuse

a) Conservation de la masse

$$\dot{m}_l(x) = \dot{m}_l(0) + \dot{m}_g(0) - \dot{m}_l(x) + \int_0^x \dot{m}_l dx \quad \dot{m}_l(0) = \dot{m}_{l,0} + \dot{m}_{g,0}$$

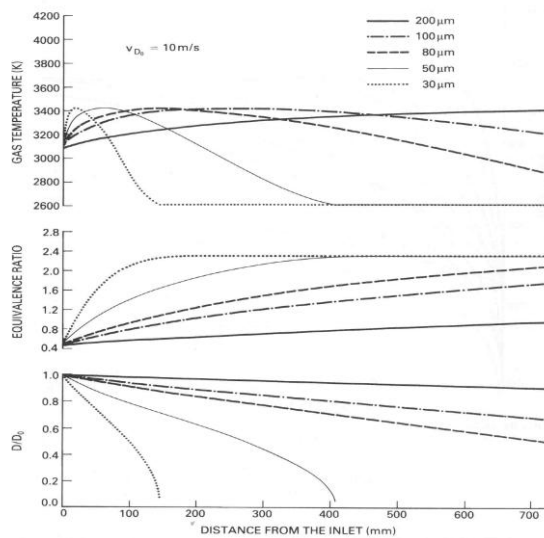
b) Conservation de l'énergie

$$\frac{dT}{dx} = \left[\left((h_a - h_g) \dot{m}_l + (h_g - h_l) \frac{d\dot{m}}{dx} \right) / \dot{m}_g - \frac{\partial h_g}{\partial \phi} \frac{d\phi}{dx} \right] / \frac{\partial h_g}{\partial T} \quad T_l(0) = T_{l,0}$$

c) Quantité de mouvement de la gouttelette

$$\frac{dV_d}{dx} = \frac{3C_b \rho_g}{4\rho_l D V_d} (V_g - V_d) |V_g - V_d| \quad V_d(0) = V_{d,0}$$

13



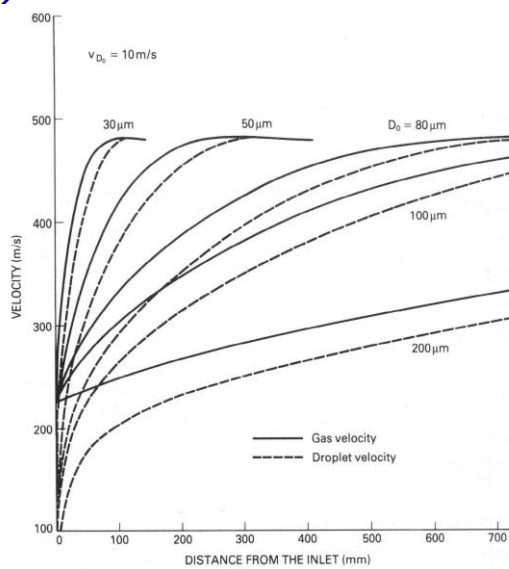
1) $D_0 = 30 \mu\text{m}$

T_{max} trop proche
de l'injecteur

2) $D_0 = 50 - 60 \mu\text{m}$

Optimal

14



1) $D_0 \leq 50 \mu\text{m}$

($V_g - V_d$) petite

2) $D_0 \geq 100 \mu\text{m}$

($V_g - V_d$) grande

Effets convectifs importants

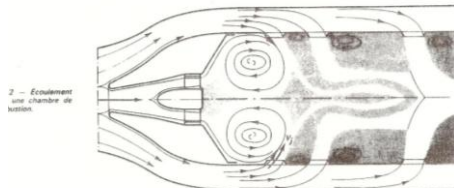
3) $V_g > V_d$

Accélération des gouttes

15

II) Approche tridimensionnelle instationnaire

- Connaître les évolutions selon les conditions initiales et aux limites (rapport de mélange, prémélange, diffusion, géométrie, débits, ...)
- Comprendre les processus d'oxydation des hydrocarbures (taux de production des espèces, création d'espèces intermédiaires)
- Optimiser la combustion (Q élevée – pertes réduites, pollution minimisée)



Codes numériques (Fortran 77, 90 ou C++) :

Fluent, Saturne, FDS, CFX, FireFoam, OpenFoam...

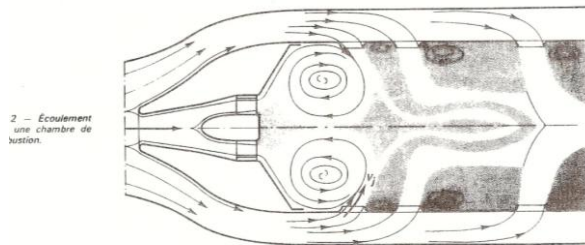
16

1) Résolution de la partie homogène et réactive du système

2) Résolution de la partie dispersée du système

3) Résolution du transfert radiatif

$$\begin{array}{ll} \text{Phase gazeuse} \left\{ \begin{array}{l} T_g(\vec{x}, t) \\ \dot{m}_g(\vec{x}, t) \\ \phi_g(\vec{x}, t) \\ v_g(\vec{x}, t) \end{array} \right. & \text{Phase liquide} \left\{ \begin{array}{l} D(\vec{x}, t) \\ \dot{m}_l(\vec{x}, t) \\ v_d(\vec{x}, t) \end{array} \right. \end{array}$$



17

Phase gazeuse

Conservation de la masse

$$\frac{\partial \rho}{\partial t} + \mathbf{u} \cdot \nabla \rho = -\rho \nabla \cdot \mathbf{u}$$

Conservation de la quantité de mouvement

$$\rho \left(\frac{\partial \mathbf{u}}{\partial t} + (\mathbf{u} \cdot \nabla) \mathbf{u} \right) = -\nabla p + \rho \mathbf{g} + \nabla \cdot \boldsymbol{\tau} + \mathbf{F}$$

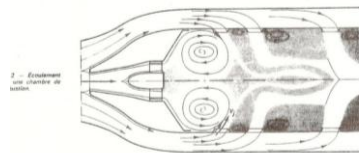
Conservation des espèces chimiques

$$\frac{\partial \rho Y_i}{\partial t} + \nabla \cdot \rho Y_i \mathbf{u} = \nabla \cdot \rho D_i \nabla Y_i + \dot{W}_i$$

Conservation de l'énergie

$$\frac{\partial \rho h}{\partial t} + \nabla \cdot \rho h \mathbf{u} = \frac{Dp}{Dt} + \dot{q}_k + \nabla \cdot \sum_{i=0}^N h \rho D_i \nabla Y_i + \nabla \cdot \lambda \nabla T - \nabla \cdot \mathbf{q}_r$$

Ecoulement réactif turbulent



Viscosité turbulente

$$\mu_t = \rho C \Delta \sqrt{k}$$

Equation d'état

$$p = R \rho T \sum_{i=0}^N \frac{Y_i}{W_i}$$

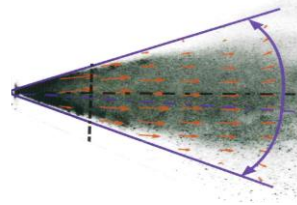
18

Phase dispersée

Trajectoire des gouttelettes

$$\frac{d}{dt}(m_d \mathbf{u}_d) = m_d \mathbf{g} - \frac{1}{2} \rho C_d \pi r_d^2 (\mathbf{u}_d - \mathbf{u}) |\mathbf{u}_d - \mathbf{u}|$$

$$\frac{d\vec{x}_d}{dt} = \mathbf{u}_d \quad (\text{position de goutte})$$



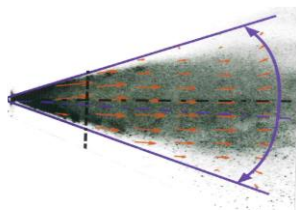
$$C_d = \begin{cases} 24 / \text{Re} & \text{Re} < 1 \\ 24(1 + 0.15 \text{Re}^{0.687}) / \text{Re} & 1 < \text{Re} < 1000 \\ 0.44 & \text{Re} > 1000 \end{cases} \quad \text{Re} = \frac{\rho |\mathbf{u}_d - \mathbf{u}| 2 r_d}{\mu}$$

Interaction fluide-particule

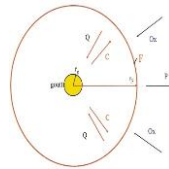
Force de traînée :
$$F = \frac{1}{2} \frac{\sum \rho C_d \pi r_{d,i}^2 (\mathbf{u}_{d,i} - \mathbf{u}) |\mathbf{u}_{d,i} - \mathbf{u}|}{\delta V}$$

19

Echange de masse entre gouttelette et gaz



$$\frac{dm_d}{dt} = 4\pi r_d^2 h_m \rho (Y_g - Y_d)$$



Nombre de Sherwood :
$$\text{Sh} = \frac{2h_m r_d}{D_m} = 2 + 0.6 \text{Re}^{1/2} \text{Sc}^{1/3}$$

Fraction massique du fuel :
$$Y_d = \frac{X_d}{X_d(1 - \text{MW}_A / \text{MW}_F) + \text{MW}_A / \text{MW}_F}$$

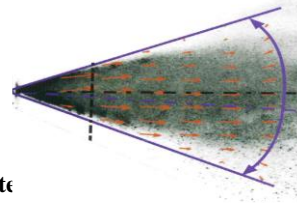
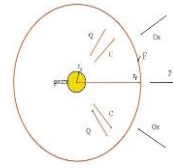
Equation de Clausius-Clapeyron :
$$X_d = \exp \left[\frac{L_v \text{MW}_F}{R_u} \left(\frac{1}{T_E} - \frac{1}{T_d} \right) \right]$$

20

Echange d'énergie entre gouttelette et gaz

$$m_d C_{pl} \frac{dT_d}{dt} = 4\pi r_d^2 h_d (T_g - T_d) + \frac{dm_d}{dt} L_v$$

$$Nu = \frac{2h_d r_d}{k_g} = 2 + 0.6 Re^{1/2} Pr^{1/3}$$

**Echange de masse et d'énergie paroi-gouttelette**

$$\frac{dT_d}{dt} = \frac{2\pi r_d^2 [h_s (T_s - T_d) + \dot{q}_{rd}]}{C_{pl} m_d} \quad T_d < T_s \quad (\text{Préchauffage des gouttes})$$

$$\frac{dm_d}{dt} = -\frac{2\pi r_d^2 [h_s (T_s - T_d) + \dot{q}_{rd}]}{L_v} \quad T_d = T_s \quad (\text{Evaporation des gouttes})$$

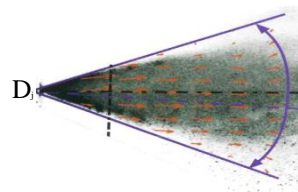
21

Distribution de taille des gouttelettesRapport entre diamètre moyen de goutte (d_m) et celui de jet (D_j)

$$d_m / D_j \propto We^{-1/3} \quad We = \frac{\rho_l U_d^2 D_j}{\sigma_w} \quad \Rightarrow \quad d_m \propto \left(\frac{D_j}{U_d} \right)^{2/3}$$

Fonction de densité de probabilité (PDF) \Rightarrow diamètre de goutte, d

$$f(d) = \frac{F'(d)}{d^3} \bigg/ \int_0^\infty \frac{F'(d')}{d'^3} dd'$$



Fonction cumulative volumique

(combinaison des distributions Log-normal et Rosin-Rammler)

$$F(d) = \begin{cases} \frac{1}{\sqrt{2\pi}} \int_0^d \frac{1}{\sigma d'} \exp\left(-\frac{[\ln(d'/d_m)]^2}{2\sigma^2}\right) dd' & (d \leq d_m) \\ 1 - \exp[-0.693(d/d_m)^n] & (d > d_m) \end{cases}$$

22

Conservation de masse assurée par un Facteur pondération C :

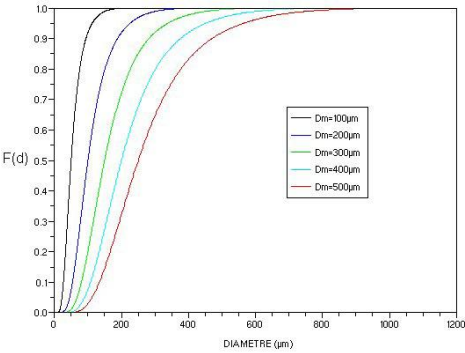
$$\dot{m}\delta t = C \sum_{i=1}^N g'(U_i) \frac{4}{3} \pi \rho_i \left(\frac{d_i}{2}\right)^3$$

$$g'(U) = \frac{1}{n} U^{1/n-1}$$

Variable aléatoire, $U(d) \in [0,1]$

$$U(d) = \int_0^d f(d') dd'$$

Sensibilité de la cumulative combinée au diamètre moyen : $d_m \propto \left(\frac{D_j}{U_d}\right)^{2/3}$



$$\left. \begin{matrix} U_d \uparrow \\ D_j \downarrow \end{matrix} \right\} d_m \downarrow$$

$$\left. \begin{matrix} U_d \downarrow \\ D_j \uparrow \end{matrix} \right\} d_m \uparrow$$